



# تحلیل فاصله خطای ناشی از نویز در ناویری تناسبی با بازخورد شتاب برای سیستم مرتبه دوم با استفاده از روش الحاقی بی بعد

جلالی نائینی، سید حمید\*

استادیار گروه مهندسی هواپیما، دانشکده مهندسی مکانیک، دانشگاه تربیت مدرس، پل نصر، تهران

(دریافت مقاله: ۱۳۹۳/۰۸/۲۸ - تاریخ پذیرش: ۱۳۹۳/۰۱/۲۱)

## چکیده

در این مقاله، تحلیل فاصله خطای استراتژی بهبود یافته ناویری تنااسبی با بازخورد شتاب جانی، برای سیستم هدایت و کنترل مرتبه دوم در حضور اثر رادوم و نویز جستجوگر با استفاده از معادلات بی بعد شده روش الحاقی ارائه شده است. در این تحلیل، از مدل خطی شده استفاده شده و شبیه خطای رادوم ثابت فرض شده است. با استفاده از نمودارهای بی بعد حاصل، روابط تقریبی فاصله خطای ناشی از نویز جستجوگر و اثر رادوم برای سیستم هدایت و کنترل مرتبه دوم با دو قطب حقیقی مجزا بدست می آید. نمودارهای بی بعد و روابط تقریبی حاصل برای تحلیل و طراحی اولیه سیستم هدایت، مفید خواهد بود. به علاوه، با استفاده از روابط تقریبی حاصل می توان بهره ها و ثابت زمانی سیستم هدایت را به طور متغیر طراحی نمود که سبب بهبود عملکرد و پایداری سیستم هدایت و کنترل در ارتفاع پایین و بالا می شود.

**واژه های کلیدی:** فاصله خطای ناویری تنااسبی، نویز جستجوگر، اثر رادوم، روش الحاقی

## مقدمه

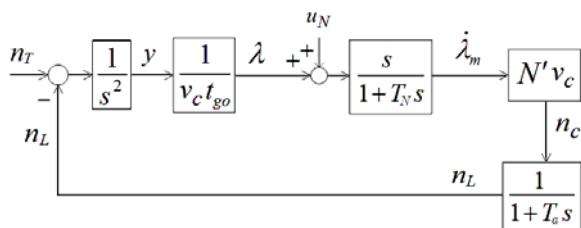
فاصله خطای هدایت تناسبی می‌شود؛ اما حل تحلیلی این معادلات برای سیستم‌های با مرتبه بالاتر به طور معمول منجر به حل انتگرال‌های لاپلاس معکوس توابع تبدیل متعالی می‌شود که حل عمومی ندارد. برای سیستم‌های مرتبه دوم و بالاتر ممکن است از حل عددی برای حل انتگرال‌های لاپلاس معکوس توابع تبدیل متعالی استفاده شود. در مرجع [۱۲] نمودارهایی به طور نمونه با استفاده از حل عددی انتگرال‌های مذکور ارائه شده است. همان‌طور که انتظار می‌رود، نمودارهای حاصل از حل عددی تنها برای مقادیر مشخصی از پارامترها حاصل می‌شود. البته روش ساده‌تر، حل عددی معادلات حالت با استفاده از روش الحقی است [۱۳]. به طور نمونه، در این روش می‌توان انحراف معیار فاصله خطای ناشی از هر یک از منابع خطای را بر حسب خطای رادوم (یا حاصل ضرب شبیخ طای رادوم در نسبت سرعت نزدیک شدن به سرعت موشک) مطابق مرجع [۱۵] ترسیم نمود. البته این نمودارها به‌ازای مقادیر مشخص ضریب ناوبری و ثابت زمانی نرخ چرخش حاصل می‌شود که تعداد زیادی نمودار می‌شود. البته در صورتی که تعداد پارامترها افزوده شود، به‌طور مثال، اگر استراتژی‌های هدایت تناسبی با تعداد پارامترهای بیشتر، استفاده شود، با افزایش تعداد نمودارها، طراحی و تحلیل مشکلتر می‌شود. در صورتی که بتوان معادلات را به‌گونه‌ای بی‌بعد و تجمعی کرد که در نهایت به‌ازای هر نویز جستجوگر (نویز تابش، نویز مستقل از فاصله و نویز وابسته به فاصله در سیستم فعال و نیمه‌فعال)، یک نمودار نتیجه بدهد، برای طراحی و تحلیل بسیار مفید خواهد بود. در مرجع [۱۶] معادلات به‌گونه‌ای نوشته شده است که تأثیر اثر رادوم و ثابت زمانی نرخ چرخش با ضرایب دیگر تجمعی شده و برای هر کدام از نویزها، یک رابطه با فرض سیستم کنترل مرتبه اول، حاصل شده است. البته خوشبختانه این تجمعی به‌گونه‌ای انجام شده است که سیستم منتج، مرتبه اول باقیمانده است؛ لذا از همان روابط تحلیلی موجود حاصل از روش الحقی، برای فاصله خطای ناشی از نویزهای جستجوگر در مرجع [۱۳]، استفاده شده است. اما اگر سیستم هدایت و کنترل مرتبه دوم منظور شود، پیچیدگی مسئله چند برابر می‌شود؛ چرا که در صورت بی‌بعده‌سازی و تجمعی مناسب نیز دیگر حل تحلیلی مسئله از روش‌های معمول موجود نیست. در

هدایت ناوبری تناسبی (یا با اختصار هدایت تناسبی) و استراتژی‌های بهبودیافته آن، کاربرد زیادی در هدایت پایانی موشک‌های رهگیر دارد [۱-۳]. در مراجع متعددی به تحلیل فاصله خطای در اصابت (یا با اختصار فاصله خطای) برای هدایت تناسبی ناشی از عوامل مختلف و با فرضیات ساده‌شونده پرداخته شده است [۴-۸]؛ اما تحلیل کاملی برای هریک از این استراتژی‌های هدایت تناسبی در دسترس نمی‌باشد. به علاوه، به‌خاطر محدودیت‌های حل تحلیلی، روابط حاصل از آن نیز بسیار ابتدایی است و با اعمال ضرایب تصحیح، حداقل می‌تواند برای طراحی اولیه استفاده شود. لذا تحلیل دقیق مسئله با حل عددی انجام می‌شود. در این خصوص، روابط تقریبی فاصله خطای ناشی از نویز برای هدایت تناسبی در مرجع [۹] موجود است، البته در آن، اثر رادوم و بازخورد شتاب جانبی لحاظ نشده است. عوامل متعددی در فاصله خطای اصابت دخیل هستند که طراحی هدایت تناسبی با یک (یا دو پارامتر) برای اراضی فاصله خطای مطلوب را برای ارتفاعات بالا و پایین دشوار یا ناممکن می‌کند [۱۰، ۱۱]. با استفاده از تغییر این پارامترها، شرایط بهتر می‌شود؛ اما هنوز ارضاء شرایط طراحی دشوار است. جبران اثر رادوم می‌تواند، عملکرد هدایت تناسبی را تا حد زیادی بهبود بخشد. همچنین استفاده از استراتژی‌های بهبودیافته هدایت تناسبی می‌تواند سبب بهبود عملکرد یا افزایش پوشش ارتفاع شود. در این خصوص می‌توان به قوانین هدایت تناسبی شبکه‌کلاسیک و نئوکلاسیک [۱۲] اشاره نمود. همچنین با بازخورد شتاب جانبی (و نرخ آن) در هدایت تناسبی می‌توان دو پارامتر طراحی دیگر به معادلات مسئله افزود که سبب بهبود طراحی می‌شود. استراتژی اخیر برای هدایت تناسبی را می‌توان در دسته هدایت تناسبی نئوکلاسیک طبقه‌بندی نمود.

روش الحقی یکی از ابزارهای قدرتمند در تحلیل فاصله خطای مدل خطی است [۱۳]. این روش برای تحلیل مسائل با ورودی‌های اتفاقی، ابزار بسیار مناسبی است. البته استفاده از روش الحقی تنها برای مسائل بسیار ساده، منجر به حل تحلیلی می‌شود. معادلات کلی حل تحلیلی مسئله به روش الحقی در مرجع [۱۴] آورده شده است. این روش برای سیستم هدایت و کنترل ایده‌آل و مرتبه اول، منجر به حل تحلیلی برای

## تحلیل فاصله خطای برای سیستم مرتبه ۲

مطابق شکل ۱، دیاگرام بلوکی مسئله خطی شده هدایت تناوبی نمایش داده شده است که در آن  $s$  متغیر حوزه لاپلاس است. برای خطی‌سازی فرض می‌شود که زاویه خطدید  $(\lambda)$  کوچک باقی می‌ماند و نسبت به خطدید اولیه سنجیده می‌شود.



شکل ۱ - دیاگرام بلوکی مسئله خطی شده

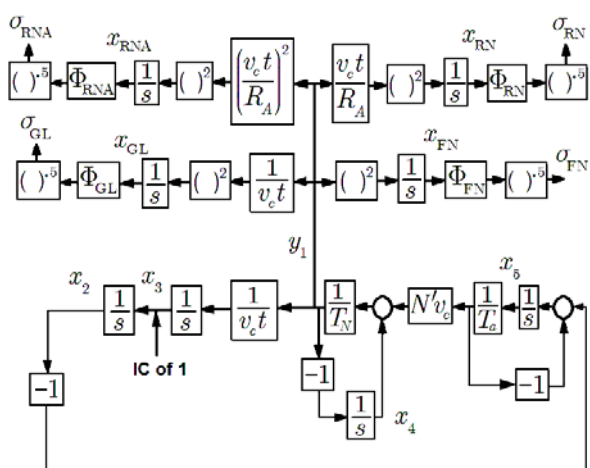
در این شکل،  $N'$  ضریب ناوبری،  $v_c$  سرعت نزدیکشدن موشک به هدف (که ثابت فرض شده)،  $n_c$  دستور شتاب موشک و  $t_{go}$  زمان باقیمانده تا اصابت (یا کمترین فاصله) است.  $t_{go} = t_f - t$  که زمان نهایی  $t_f$  معلوم فرض می‌شود. شتاب موشک ( $n_M$ ) و شتاب هدف ( $n_T$ ) در خطی‌سازی تنها در راستای  $\lambda$  نوشته می‌شود. راستای  $\lambda$  عمود بر خطدید اولیه منظور می‌شود و مقدار آن، همان فاصله هدف نسبت به موشک در راستای عمود بر خطدید اولیه است. همچنین،  $u_N$  نویز اندازه‌گیری زاویه خطدید است و به صورت زیر لحاظ می‌شود [۱۳]:

$$u_N = \frac{u_{GL}}{v_c t_{go}} + u_{FN} + \frac{v_c t_{go}}{R_A} u_{RN} + \left( \frac{v_c t_{go}}{R_A} \right)^2 u_{RNA} \quad (1)$$

که در آن  $u_{GL}$  ورودی مدل نویز تابش (بر حسب متر)،  $u_{FN}$  ورودی نویز مستقل از فاصله (فاصله موشک تا هدف) بر حسب رادیان،  $u_{RN}$  ورودی مدل نویز وابسته به فاصله برای سیستم نیمه‌فعال (بر حسب رادیان) و  $u_{RNA}$  ورودی نویز وابسته به فاصله برای سیستم فعال (بر حسب رادیان) است. این ورودی‌ها به صورت نویز سفید فرض شده و چگالی طیفی توان آنها با  $\Phi$  و همان اندیس ورودی متناظر نمایش داده می‌شود ( واحد  $\Phi_{GL}$  مجدد متر بر هرتز و واحد چگالی نویز بقیه برابر

اینجا سؤالی که مطرح می‌شود این است که چه نیازی به حل مسئله با فرض سیستم مرتبه دوم نسبت به سیستم مرتبه اول است. اول این که سیستم هدایت و کنترل مرتبه دوم از سیستم مرتبه اول به مسئله واقعی نزدیکتر است. همچنین در این حالت، جستجوگر و فیلتر نویز باتابع تبدیل مرتبه اول و سیستم کنترل نیز باتابع تبدیل مرتبه اول مدل می‌شود. به عبارت دقیق‌تر، در این نوع مدل‌سازی، تخمین نرخ چرخش خطدید که خروجی فیلتر شده جستجوگر است و همچنین دستور شتاب، ظاهر می‌شود؛ اما در مدل‌سازی سیستم کلی باتابع تبدیل مرتبه اول، هیچ‌کدام (به درستی) ظاهر نمی‌شود. در صورت عدم موجود بودن تخمین نرخ چرخش خطدید و دستور شتاب، مقایسه با قوانین هدایت بهبود یافته نیز میسر نمی‌شود. لازم به یادآوری است که در تحلیل مسئله با اعمال نویز جستجوگر، اگر سیستم هدایت به صورت حاصل‌ضرب یک مشتق‌گیر خالص در یک بهره مدل شود، خروجی آن (تخمین نرخ چرخش خطدید یا دستور شتاب) نوسانات بسیار بزرگ پیدا می‌کند؛ چرا که از نویز سفید مشتق گرفته می‌شود. به عبارت خلاصه، سیستم مرتبه دوم ابتدایی‌ترین مدل مفروض برای مدل‌سازی نسبتاً صحیح مسئله در حضور نویز جستجوگر است؛ اما سبب چندبرابر شدن پیچیدگی تحلیل مسئله خواهد شد؛ چرا که حل تحلیلی (از روش‌های متدالو) ندارد.

در تحقیق حاضر، استراتژی هدایت تناوبی با بازخورد شتاب جانبی (و نرخ آن) برای سیستم مرتبه دوم و در حضور اثر رادوم مدد نظر است. در این تحلیل، مدل خطی شده با فرض ثابت بودن شبیه خطای رادوم و سرعت نزدیکشدن موشک به هدف استفاده شده است. دینامیک جستجوگر به همراه فیلتر نویز به صورت مرتبه اول و دینامیک سیستم کنترل نیز مرتبه اول فرض می‌شود. برای تحلیل فاصله خط، پارامترهای مسئله تجمعی شده و سپس مدل الحقیقی استخراج می‌شود. در ادامه، با بی‌بعدسازی معادلات الحقیقی و حل عددی آن، نمودار فاصله خطای بی‌بعد ناشی از هر کدام از نویزهای جستجوگر به دست می‌آید. در مرحله نهایی، با برازش نمودار فاصله خطای ناشی از هر نویز که تابع دو متغیر بی‌بعد تجمعی شده می‌شود، روابطی استخراج شده است. لازم به ذکر است که در حالت خاص با صفر منظور کردن ضریب بازخورد شتاب، نتایج برای هدایت تناوبی حاصل می‌شود.



شکل ۲ - مدل الحاقی برای دیاگرام بلوکی شکل ۱

و  $x_{\text{RN}}$ ،  $x_{\text{FN}}$  و  $x_{\text{RNA}}$  (بر حسب  $x_{\text{GL}}$ ) متحیلهای حالت بعد از انتگرال‌گیرهای مدل الحاقی مربوط به نویزهای منتظر در شکل ۲ است. البته مقدار اولیه متغیرهای حالت، به جز  $x_3(0) = 1$ ، برابر صفر لحاظ می‌شود، به دلایلی متغیر  $x_1$  تعریف نشده است. با توجه به شکل ۲،  $\sigma$  انحراف معیار (ریشه میانگین مربعات) فاصله خطای اصابت ناشی از نویز جستجوگر است و از رابطه زیر محاسبه می‌شود:

$$\sigma_j = \sqrt{\Phi_j x_j(t_f)} \quad j=\text{GL,FN,RA,RNA} \quad (11)$$

برای تحلیل و مقایسه بهتر فرض کنید که  $T_N = \alpha T$  و  $T_a = (1 - \alpha)T$ . لذا تقریب ثابت زمانی معادل سیستم هدایت و کنترل برابر مقدار  $T$  می‌شود. با جایگذاری  $\alpha$  و  $T$  در معادلات اخیر بهجای ثابت زمانی‌های مذکور و بی‌بعدسازی متغیر زمان نسبت به  $T$ ، معادلات الحاقی بهصورت زیر بی‌بعد می‌شود:

$$\hat{x}'_2 = \hat{x}_3 \quad (12)$$

$$\hat{x}'_3 = \hat{y}_1 / \tau \quad (13)$$

$$\hat{x}'_4 = -\hat{y}_1 \quad (14)$$

مجذور رادیان بر هرتز است). چگالی طیفی نویزهای وابسته به فاصله بهزاری یک فاصله مرجع  $R_A$  داده می‌شود. همان‌طور که در شکل ۱ ملاحظه می‌شود، دینامیک جستجوگر و فیلتر نویز مجموعاً با یکتابع تبدیل مرتبه اول با ثابت زمانی  $T_N$  (و  $s$  در صورت کسر) مدل شده است که خروجی آن تخمین نرخ چرخش خطدید است که با  $\lambda_m$  نمایش داده شده است. دینامیک سیستم کنترل و موشک نیز مجموعاً با یکتابع تبدیل مرتبه اول با ثابت زمانی  $T_a$  مدل شده است. با توجه به این که فاصله خطای اصابت ناشی از نویز جستجوگر مد نظر است، هدف ثابت فرض می‌شود. همچنین با فرضیات مذکور، میانگین خطای اصابت صفر می‌شود.

در صورتی که قواعد روش الحاقی مطابق شکل ۲ به بلوک دیاگرام شکل ۱ اعمال شود، معادلات الحاقی در فضای حالت بهصورت زیر نوشته می‌شود:

$$\dot{x}_2 = x_3 \quad (2)$$

$$\dot{x}_3 = y_1 / v_c t \quad (3)$$

$$\dot{x}_4 = -y_1 \quad (4)$$

$$\dot{x}_5 = -x_2 - x_5 / T_a \quad (5)$$

$$\dot{x}_{\text{FN}} = y_1^2 \quad (6)$$

$$\dot{x}_{\text{RN}} = (y_1 v_c t / R_A)^2 \quad (7)$$

$$\dot{x}_{\text{RNA}} = y_1^2 (v_c t / R_A)^4 \quad (8)$$

$$\dot{x}_{\text{GL}} = (y_1 / v_c t)^2 \quad (9)$$

که در آن،

$$y_1 = \frac{1}{T_N} x_4 + \frac{N' v_c x_5}{T_N T_a} \quad (10)$$

$$K_{RN}(N', \alpha, \tau_f) = \frac{R_A \sigma_{RN}}{\Phi_{RN}^{0.5} T^{1.5} v_c^2} = \sqrt{\hat{x}_{RN}(\tau_f)} \quad (24)$$

$$K_{RNA}(N', \alpha, \tau_f) = \frac{R_A^2 \sigma_{RNA}}{\Phi_{RNA}^{0.5} v_c^3 T^{2.5}} = \sqrt{\hat{x}_{RNA}(\tau_f)} \quad (25)$$

که به ضرایب  $K$  ضرایب بی بعد می‌گویند. نتایج حل عددی در شکل ۳ به ازای  $\alpha = 0.5$  و  $N' = 3$  ترسیم شده است. توجه این که بازه اصلی  $\alpha$ ، بین صفر و یک است؛ اما نتایج به ازای  $\alpha = 1 - \alpha$  یکسان می‌شود. بنابراین، کافی است که تحلیل به ازای بازه  $\alpha < 0.5$  انجام شود. همان‌طور که از شکل ۳ ملاحظه می‌شود، مقدار ضرایب بی بعد پس از مدت زمانی به مقدار پایا (حالت ماندگار) می‌رسد. البته مقدار ضرایب بی بعد برای نویز وابسته به فاصله، نسبت به دو نویز تابش و نویز مستقل از فاصله، دیرتر به حالت پایا رسیده است. در ادامه، تحلیل فاصله خطای پایا مدنظر است. شکل ۴ رفتار ضرایب بی بعد را بر حسب ضریب ناوبری  $N'$  به ازای سه مقدار مختلف مقادیر  $\alpha = 0.001, 0.2, 0.5$  نشان می‌دهد. همان‌طور که از این شکل ملاحظه می‌شود، تغییر  $\alpha$  بر حسب کاربرد می‌تواند مهم باشد. به جز نویز تابش، با افزایش  $N'$  اختلاف نتایج به ازای مقادیر مختلف  $\alpha$  زیاد می‌شود. این رفتار برای نویز تابش برای مقادیر  $N'$  بزرگ‌تر از ۶ مشاهده می‌شود. نتایج به ازای  $\alpha = 0.001$  با دقت بسیار خوبی مشابه نتایج برای سیستم مرتبه اول ( $\alpha = 0$ ) است. بنابراین در شکل ۴، نتایج سیستم مرتبه دوم با مرتبه اول نیز قابل مقایسه است. نویزهای وابسته به فاصله برای کاربردهای ضدبالستیک که سرعت نزدیک شدن موشک به هدف زیاد است، اهمیت زیادی پیدا می‌کند. بنابراین مقدار  $\alpha$  برای محاسبه نویز تأثیر قابل توجهی دارد؛ اما برای موشک‌های راداری رهگیر متداول، نویز غالب به طور معمول نویز تابش و نویز مستقل از فاصله است (بسته به مقدار ثابت زمانی معادل). البته لازم به ذکر است که تقریب نسبتاً قابل قبول برای طراحی اولیه، به طور معمول، سیستم هدایت و کنترل مرتبه پنج است. البته روابط تحلیلی برای مرتبه اول و دوم با اتخاذ ضرایب تصحیح ممکن است برای طراحی قانون هدایت با ضرایب متغیر استفاده شود.

$$\hat{x}'_5 = -\hat{x}_2 - \hat{x}_5 / (1 - \alpha) \quad (15)$$

$$\hat{x}'_{FN} = \hat{y}_1^2 \quad (16)$$

$$\hat{x}'_{RN} = \hat{y}_1^2 \tau^2 \quad (17)$$

$$\hat{x}'_{RNA} = \hat{y}_1^2 \tau^4 \quad (18)$$

$$\hat{x}'_{GL} = \hat{y}_1^2 / \tau^2 \quad (19)$$

که در آن،  $(')$  مشتق نسبت به  $\tau = t / T$  است و متغیرهای بی بعد به صورت زیر تعریف می‌شود:

$$\begin{aligned} \hat{x}_2 &= \frac{x_2}{T}, \hat{x}_3 = x_3, \hat{x}_4 = \frac{x_4}{Tv_c}, \hat{x}_5 = \frac{x_5}{T^2}, \hat{x}_{GL} = Tx_{GL} \\ \hat{x}_{FN} &= \frac{x_{FN}}{Tv_c^2}, \hat{x}_{RN} = \frac{R_A^2}{T^3 v_c^4} x_{RN}, \hat{x}_{RNA} = \frac{R_A^4}{T^5 v_c^6} x_{RNA} \end{aligned} \quad (20)$$

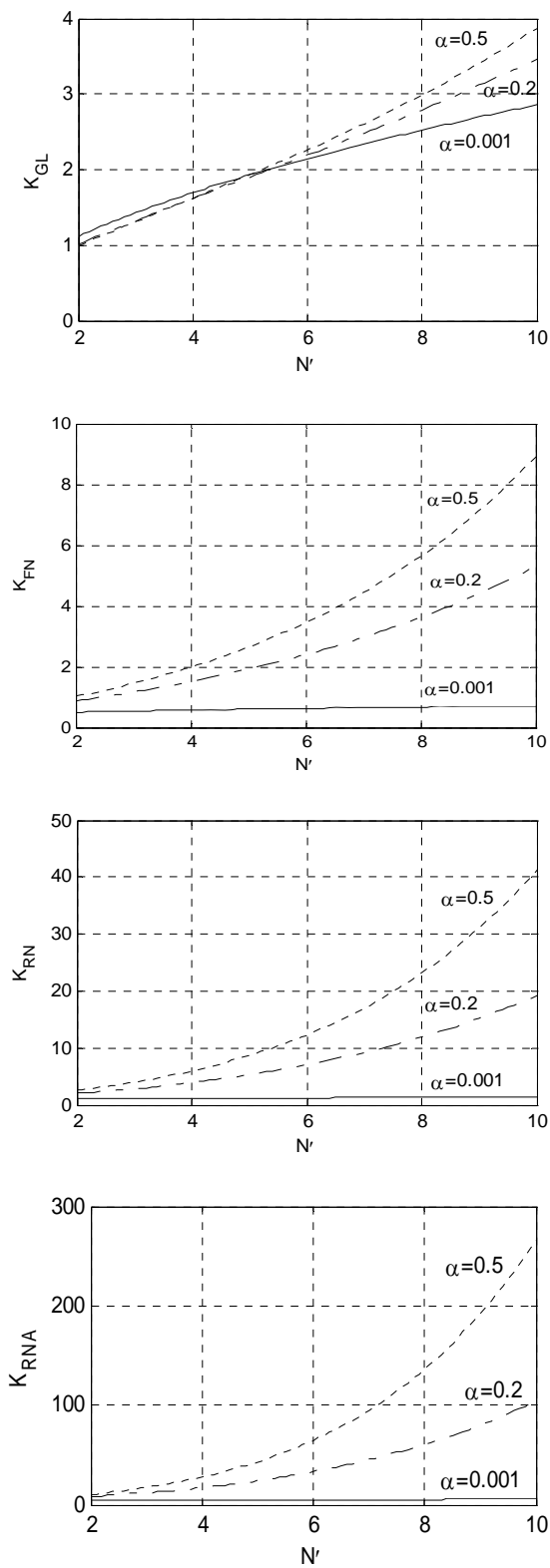
همچنین

$$\hat{y}_1 = \frac{1}{\alpha} \hat{x}_4 + \frac{N'}{\alpha(1-\alpha)} \hat{x}_5 \quad (21)$$

همان‌طور که از معادلات الحاقی بی بعد ملاحظه می‌شود، فاصله خطای بی بعد ناشی از نویزها، تابعی از متغیرهای  $N', \alpha$  و  $\tau_f = t_f / T$  می‌شود (۱۹-۲۲). ریشه میانگین مجدد فاصله خطای اصابت ناشی از نویزهای مذکور با حل عددی معادلات (۱۹-۲۲) به ازای شرایط اولیه صفر، به جز  $\hat{x}_3(0) = 1$ ، از روابط (۲۲-۲۵) محاسبه می‌شود.

$$K_{GL}(N', \alpha, \tau_f) = \frac{\sigma_{GL}}{\sqrt{\Phi_{GL} / T}} = \sqrt{\hat{x}_{GL}(\tau_f)} \quad (22)$$

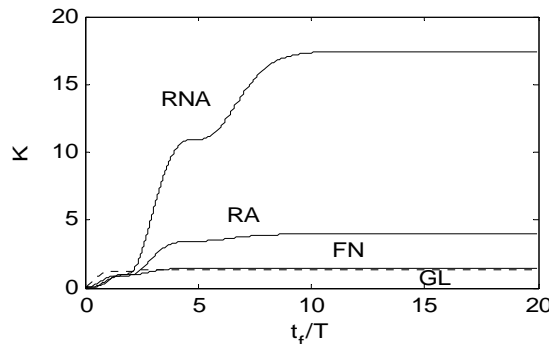
$$K_{FN}(N', \alpha, \tau_f) = \frac{\sigma_{FN}}{v_c \sqrt{T \Phi_{FN}}} = \sqrt{\hat{x}_{FN}(\tau_f)} \quad (23)$$

شکل ۴ - ضرایب بی بعد پایا بر حسب  $N'$ 

در صورتی که با برآش منحنی به نمودارهای مربوطه بتوان روابط ساده‌ای به دست آورد، برای تحلیل فاصله خطاء محاسبه ثابت زمانی بهینه و همچنین طراحی هدایت با ضرایب متغیر، مفید خواهد بود. با توجه به تقارن نتایج حول  $\alpha = 0.5$ ، به نظر می‌آید که اگر نمودارها نسبت به  $\alpha(1 - \alpha)$  ترسیم شود، استخراج روابط آسان‌تر باشد. همان‌طور که از شکل ۵ ملاحظه می‌شود، استفاده از متغیر  $\alpha(1 - \alpha)$  می‌تواند مفید باشد. با استفاده از این متغیر و به‌ازای مقادیر مفروض، نمودار ضریب بی بعد تابش در شکل ۵، نسبت به  $\alpha(1 - \alpha)$  ثابت (یا با شبیه‌سازی ملایمی) می‌باشد. رفتار ضرایب بی بعد نویز مستقل از فاصله نسبت به متغیر  $\alpha(1 - \alpha)$  نیز خطی مشاهده می‌شود. همان‌طور که ملاحظه می‌شود، بر حسب کاربرد، می‌توان روابط ضرایب بی بعد پایا بر حسب  $N'$  یا  $\alpha(1 - \alpha)$  را به صورت خطی یا غیرخطی تقریب زد. البته در اینجا برای افزایش دقت (نسبت به تقریب خطی) روابط تقریبی ضرایب بی بعد پایا به‌ازای بازه  $3 \leq N' \leq 6$  به صورت

$$K_j = K_j(\alpha = 0) + b_j(N')[\alpha(1 - \alpha)]^{n_j(N')} \quad (26)$$

استخراج شده است که در آن  $j = GL, FN, RA, RNA$  و  $K_j(\alpha = 0)$  مقدار ضریب بی بعد به‌ازای  $\alpha = 0$  است (ضرایب بی بعد برای سیستم مرتبه اول) که در پیوست الف آمده‌است. اما ضرایب  $b$  و  $n$  به صورت روابط (۳۷-۳۴) به دست می‌آید:

شکل ۳ - ضرایب بی بعد بر حسب زمان نهایی بی بعد  $\alpha = 0.5$  و  $N' = 3$  به‌ازای

$$b_{GL} = -0.54 + 0.25(N' - 3) \quad (27)$$

$$b_{FN} = 3.3 + 1.8(N' - 3)^{1.35} \quad (28)$$

$$b_{RN} = 13 + 18.3(N' - 3) \quad (29)$$

$$b_{RNA} = 65 + 80(N' - 3)^{1.5} \quad (30)$$

$$n_{FN} = 0.9 + (N' - 3) / 30 \quad (31)$$

$$n_{GL} = 1 \quad (32)$$

$$n_{RN} = 1.1 + 0.2(N' - 3)^{0.29} \quad (33)$$

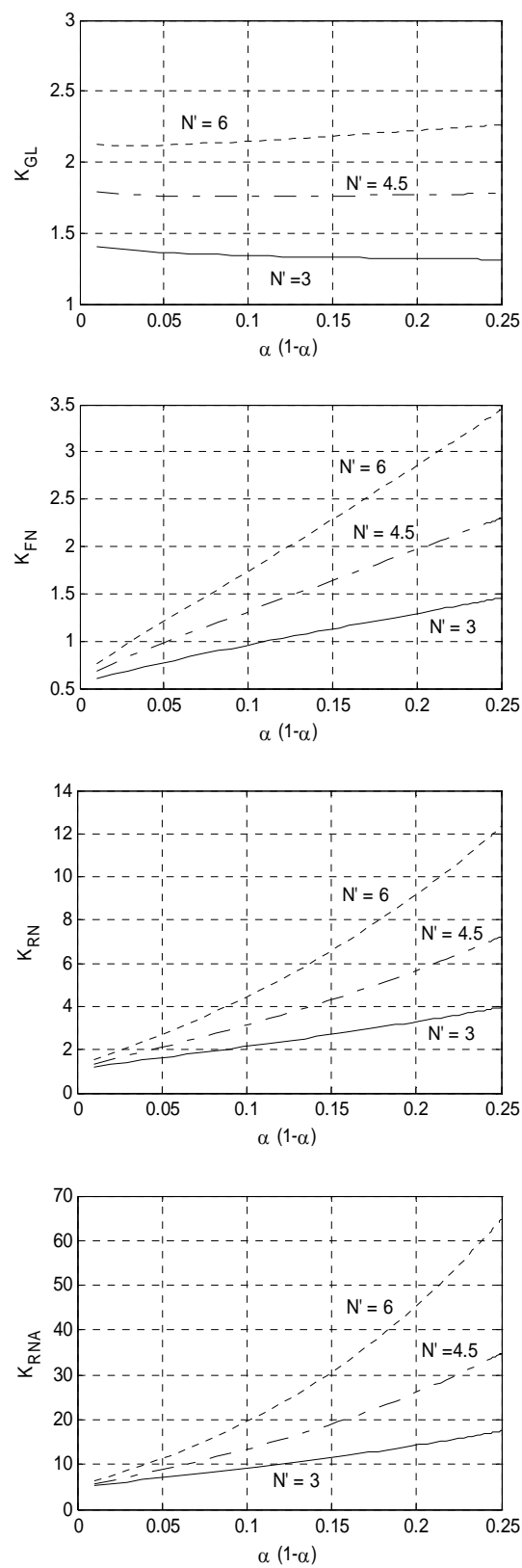
$$n_{RNA} = 1.2 + 0.15(N' - 3)^{0.84} \quad (34)$$

در صورتی که خطای نویز غالب در مسئله، خطای ناشی از نویز تابش و نویز مستقل از فاصله باشد، تقریب‌های خطی دارای دقت خوبی بوده و بار محاسباتی را کاهش داده و همچنین امکان حل تحلیلی برای مسئله بهینه‌سازی را میسر می‌سازد.

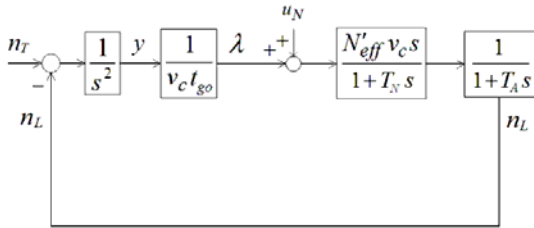
در ادامه، به عنوان یک مثال عددی فرض کنید در سیستم نخست، تابع تبدیل سیستم کنترل به صورت  $1 / (1 + Ts / 2)^2$  با ثابت زمانی معادل  $1 / 4$  ثانیه باشد ( $\alpha = 0.5$ ) و سیستم دوم شامل دو تابع تبدیل مرتبه اول با ثابت زمانی فیلتر نویز  $1 / 0.05$  و ثابت زمانی سیستم کنترل  $1 / 35$  ثانیه باشد ( $\alpha = 1 / 8$ ). در مقایسه ضرایب بی بعد پایا برای دو سیستم مذکور به ازای ضریب ناوبری ۳ می‌توان گفت که ضریب بی بعد نویز تابش تفاوت زیادی نمی‌کند؛ اما ضریب بی بعد نویز مستقل از فاصله در سیستم اول نسبت به سیستم دوم،  $1 / 5$  برابر می‌شود. همچنین ضرایب بی بعد وابسته به فاصله در سیستم اول نسبت به سیستم دوم حدود  $1 / 7$  برابر می‌شود.

### تحلیل فاصله خطای بازخورد شتاب

ابتدا دیاگرام بلوکی مسئله خطی شده هدایت تناسبی با بازخورد شتاب جانبی مطابق رابطه (۳۵) در شکل ۶ نمایش داده شده است.



شکل ۵ - ضرایب بی بعد پایا بر حسب  $\alpha(1 - \alpha)$



شکل ۷ - دیاگرام بلوکی ساده شده در شکل ۶

$$n_c = N'v_c \dot{\lambda}_m - N'_L(1 + \tau_d s)n_L \quad (35)$$

که در آن  $N'_L$  ضریب شتاب جانبی،  $\tau_d$  ثابت زمانی مشتق گیر و شتاب جانبی موشک است (در خطی‌سازی فرض می‌شود  $n_L = n_M$ ). اگر بازخورد شتاب جانبی با بلوك سیستم کنترل تلفیق شود (شکل ۷)، ثابت زمانی بلوك حاصل و حاصل ضرب بهره‌ها با ضریب ناوبری، به صورت زیر نوشته می‌شود:

$$N'_{eff} = \frac{N'}{1 + N'_L} \quad (36)$$

$$T_A = \frac{T_a + N'_L \tau_d}{1 + N'_L} \quad (37)$$

**تحلیل فاصله خطای اثر رادوم**  
در شکل ۸ نمودار بلوکی خطی‌شده قانون هدایت تناسبی با بازخورد شتاب جانبی با اعمال اثر رادوم نمایش داده شده است که در آن،  $R$  شبیه خطای رادوم،  $v_M$  سرعت موشک،  $T_\alpha$  ثابت زمانی نرخ چرخش و  $\theta$  زاویه محور طولی موشک با امتداد مرجع است. دستور شتاب قانون هدایت نیز به صورت رابطه (۳۵) لحاظ می‌شود. در ادامه، دیاگرام بلوکی شکل ۸ به صورت دیاگرام بلوکی شکل ۹ ساده می‌شود که در آن ضریب ناوبری مؤثر و ثابت زمانی مؤثر به ترتیب برابر است با:

$$N'_{eff} = \frac{N'(1 + R)}{1 + N'_L + K_R} \quad (39)$$

$$T_{eff} = \frac{T_a + T_N + N'_L(\tau_d + T_N) + K_R T_\alpha}{1 + N'_L + K_R} \quad (40)$$

$$c_2 = \frac{T_N(T_a + N'_L \tau_d)}{1 + N'_L + K_R} \quad (41)$$

که در آن

$$K_R = \frac{N'v_c R}{v_M} \quad (42)$$

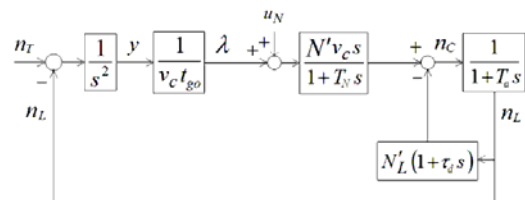
همچنین با توجه به شکل ۹، تابع تبدیل از نرخ چرخش خط دید به شتاب جانبی بر حسب ضریب ناوبری مؤثر، ثابت زمانی مؤثر، سرعت نزدیک شدن موشک به هدف و ضریب  $c_2$  نوشته می‌شود:

$$\frac{n_L}{\lambda}(s) = \frac{N'_{eff} v_c}{1 + T_{eff} s + c_2 s^2} \quad (43)$$

بنابراین با جایگزین کردن  $N'_{eff}$  به جای  $N'$  و  $T_A$  به جای  $T_a$  می‌توان از روابط، نمودارها و نتایج بخش قبل برای فاصله خطای استفاده کرد. توجه این که در این حالت مانند قبل  $T_A = (1 - \alpha)T$ ؛  $T_N = \alpha T$  همان‌طور که ملاحظه می‌شود با بازخورد شتاب می‌توان ثابت زمانی سیستم را از لحاظ تغیری به مقدار دلخواه تغییر داد؛ اما بهره سیستم نیز تغییر می‌کند. در مدل مفروض، در صورتی که ضریب ناوبری، متغیر و برابر  $N'(1 + N'_L)$  انتخاب شود، ضریب ناوبری مؤثر برابر  $N'$  می‌شود.

در ادامه با توجه به شکل ۷، تابع تبدیل از نرخ چرخش خط دید به شتاب جانبی به صورت زیر نوشته می‌شود:

$$\frac{n_L}{\lambda}(s) = \frac{N'_{eff} v_c}{(1 + T_N s)(1 + T_A s)} \quad (38)$$



شکل ۶ - دیاگرام بلوکی مسئله خطی‌شده هدایت تناسبی با بازخورد شتاب جانبی

در ادامه، مسئله بهازی ریشه‌های مختلط برای رابطه (۴۴) بررسی می‌شود. برای این حالت، دوباره باید مدل الحقیقی را ساخت و حل عددی نمود. در ابتدا باید مدل الحقیقی بی‌بعد استخراج شود. برای این منظور، استخراج مدل الحقیقی بی‌بعد برای شکل ۹ آسانتر از مدل اولیه است؛ چرا که در شکل ۹ ضرایب  $T_{eff}$ ,  $N'_{eff}$  و  $c_2$  به دست آمده است. قبل از استخراج مدل الحقیقی، دیاگرام بلوکی شکل ۹ به صورت شکل ۱۰ ساده می‌شود و مرتبه سیستم کاهش می‌یابد. همچنین برای استخراج مدل الحقیقی شکل ۱۰، تابع تبدیل مرتبه دوم باید بر حسب دو بلوک انتگرال‌گیر مطابق شکل ۱۱ شکسته شود. سپس با استفاده از قواعد استخراج مدل الحقیقی، مدل شکل ۱۲ حاصل می‌شود. ادامه این شکل، پس از فلش به سمت بالا که با  $y_1$  علامت‌گذاری شده است، با اعمال ضریب  $(1+R)$  مشابه دیاگرام بلوکی شکل ۲ می‌شود. در ادامه، معادلات رسته یک برای دیاگرام بلوکی شکل ۱۲ (و بخش مشابه آن در شکل ۱۱) نوشته می‌شود:

$$\dot{x}_1 = x_2 - \frac{T_{eff}}{c_2} x_1 \quad (47)$$

$$\dot{x}_2 = -\frac{1}{c_2} x_1 - x_3 \quad (48)$$

$$\dot{x}_3 = y_1 / v_c t \quad (49)$$

$$\dot{x}_{FN} = y_1^2 \quad (50)$$

$$\dot{x}_{RN} = (y_1 v_c t / R_A)^2 \quad (51)$$

$$\dot{x}_{RNA} = y_1^2 (v_c t / R_A)^4 \quad (52)$$

$$\dot{x}_{GL} = (y_1 / v_c t)^2 \quad (53)$$

که در آن،

$$y_1 = \frac{N'_{eff} v_c x_1}{c_2} \quad (54)$$

بنابراین، انحراف معیار  $\sigma$  یا ریشه میانگین مربعات فاصله خطای اصابت ناشی از هر یک از نویزهای جستجوگر از رابطه (۵۵) محاسبه می‌شود:

اگر مخرج کسر رابطه (۴۳) دارای دو ریشه حقیقی منفی باشد، می‌توان از روابط قابل استفاده نمود. برای این منظور، ابتدا ضرایب  $T_1$  و  $T_2$  به دست می‌آید:

$$(1 + T_1 s)(1 + T_2 s) = 1 + T_{eff} s + c_2 s^2 \quad (44)$$

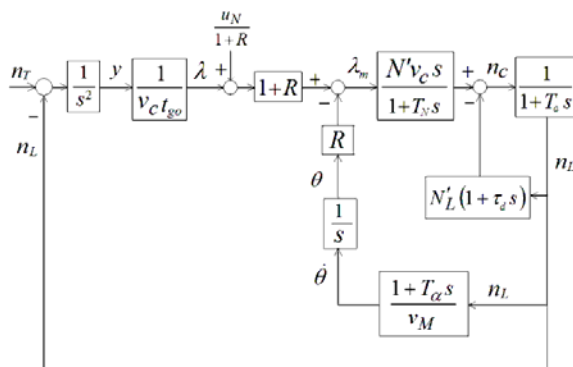
بنابراین:

$$T_{1,2} = \frac{T_{eff}}{2} \left[ 1 \mp \sqrt{1 - \frac{4c_2}{T_{eff}^2}} \right] \quad (45)$$

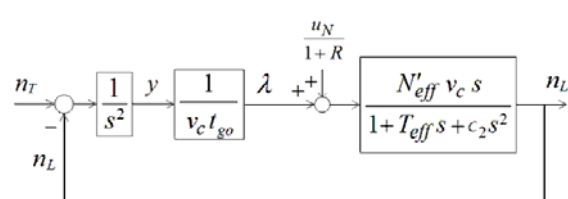
برای این که رابطه فوق، دو جواب حقیقی مثبت داشته باشد، باید  $0 < c_2 < T_{eff}^2$ . برای این حالت می‌توان نوشت:

$$\alpha(1 - \alpha) = \left( \frac{T_1}{T_{eff}} \right) \left( \frac{T_2}{T_{eff}} \right) = \frac{c_2}{T_{eff}^2} \leq \frac{1}{4} \quad (46)$$

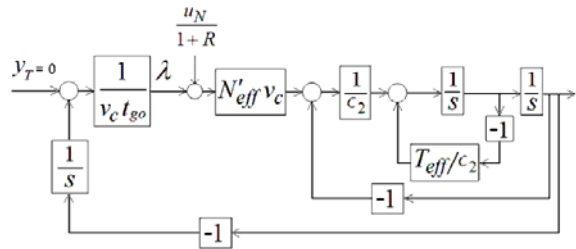
بنابراین، شروط مثبت حقیقی بودن جوابهای رابطه (۴۵) همان رابطه  $0 < \alpha < 1$  است. البته مطابق شکل ۹، ورودی نویز و متعاقباً فاصله خطای باید با ضریب  $(1+R)$  اصلاح شود.



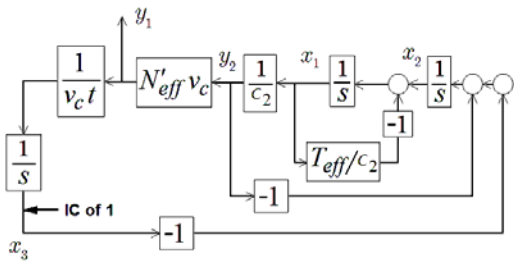
شکل ۸- دیاگرام بلوکی هدایت با اثر رادوم



شکل ۹- دیاگرام بلوکی ساده شده در شکل ۸



شکل ۱۱- دیاگرام بلوکی شکل ۱۰ با تجزیه به المانهای انتگرال‌گیر



شکل ۱۲- مدل الحقیقی سیستم هدایت و کنترل با اثر رادوم

$$\hat{x}'_{\text{GL}} = \hat{y}_1^2 / \tau^2 \quad (63)$$

که در آن،

$$\hat{y}_1 = N'_{\text{eff}} \hat{x}_1 \quad (64)$$

در نتیجه، ریشه میانگین مجدد فاصله خطای پایا ناشی از نویزهای مذکور با حل عددی معادلات (۵۷-۶۳) بهارای شرایط

اولیه صفر (به جز  $\hat{x}_3 = 1$ ) به صورت زیر محاسبه می‌شود:

$$K_{\text{GL}}(N'_{\text{eff}}, \gamma) = \frac{(1+R)\sigma_{\text{GL}}}{\sqrt{\Phi_{\text{GL}} / T_{\text{eff}}}} = \sqrt{\hat{x}_{\text{GL}}(\infty)} \quad (65)$$

$$K_{\text{FN}}(N'_{\text{eff}}, \gamma) = \frac{(1+R)\sigma_{\text{FN}}}{v_c \sqrt{T_{\text{eff}} \Phi_{\text{FN}}}} = \sqrt{\hat{x}_{\text{FN}}(\infty)} \quad (66)$$

$$K_{\text{RN}}(N'_{\text{eff}}, \gamma) = \frac{(1+R)R_A \sigma_{\text{RN}}}{\Phi_{\text{RN}}^{0.5} T_{\text{eff}}^{1.5} v_c^2} = \sqrt{\hat{x}_{\text{RN}}(\infty)} \quad (67)$$

$$\sigma_j = \frac{\sqrt{\Phi_j x_j(t_f)}}{1 + R} \quad j = \text{GL, FN, RA, RNA} \quad (55)$$

توجه این که میانگین فاصله خطای صفر است. در این حالت، انحراف معیار برابر ریشه میانگین مربعات می‌شود. با تغییر متغیر زمان به  $\tau = t / T_{\text{eff}}$  و متغیرهای بی بعد به صورت:

$$\hat{x}_1 = \frac{x_1}{c_2}, \hat{x}_2 = \frac{x_2}{T_{\text{eff}}}, \hat{x}_3 = x_3, \hat{y}_1 = \frac{y_1}{v_c} \quad (56)$$

و همچنین تعریف مشابه برای متغیرهای  $\hat{x}_{\text{RN}}$ ,  $\hat{x}_{\text{FN}}$ ,  $\hat{x}_{\text{GL}}$  و  $\hat{x}_{\text{RNA}}$ ، معادلات الحقیقی بی بعد به صورت زیر حاصل می‌شود:

$$\hat{x}'_1 = \frac{T_{\text{eff}}^2}{c_2} (\hat{x}_2 - \hat{x}_1) \quad (57)$$

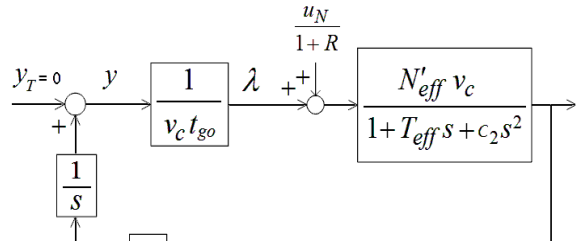
$$\hat{x}'_2 = -\hat{x}_1 - \hat{x}_3 \quad (58)$$

$$\hat{x}'_3 = \hat{y}_1 / \tau \quad (59)$$

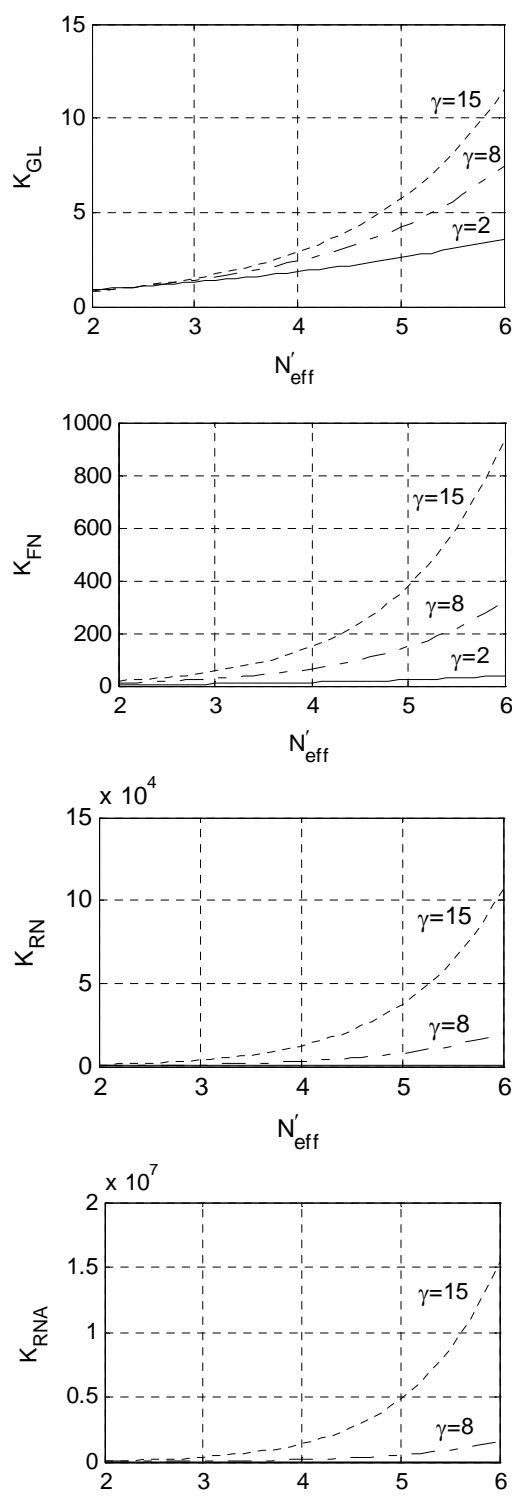
$$\hat{x}'_{\text{FN}} = \hat{y}_1^2 \quad (60)$$

$$\hat{x}'_{\text{RN}} = \hat{y}_1^2 \tau^2 \quad (61)$$

$$\hat{x}'_{\text{RNA}} = \hat{y}_1^2 \tau^4 \quad (62)$$



شکل ۱۰- ساده‌سازی دیاگرام بلوکی شکل ۹



شکل ۱۳ - ضرایب بی بعد پایا بر حسب  $N'_{eff}$

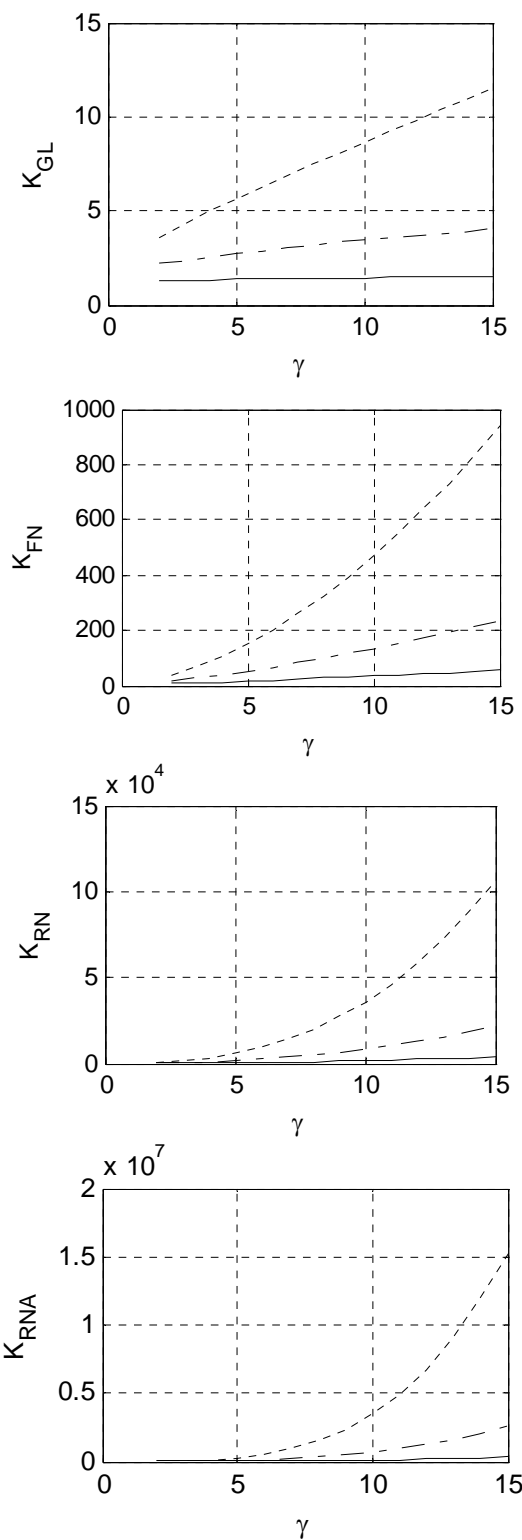
$$K_{RNA}(N'_{eff}, \gamma) = \frac{(1+R)R_A^2 \sigma_{RNA}}{\Phi_{RNA}^{0.5} v_c^3 T_{eff}^{2.5}} = \sqrt{\hat{x}_{RNA}(\infty)} \quad (48)$$

که در روابط فوق،  $\gamma = c_2 / T_{eff}^2$

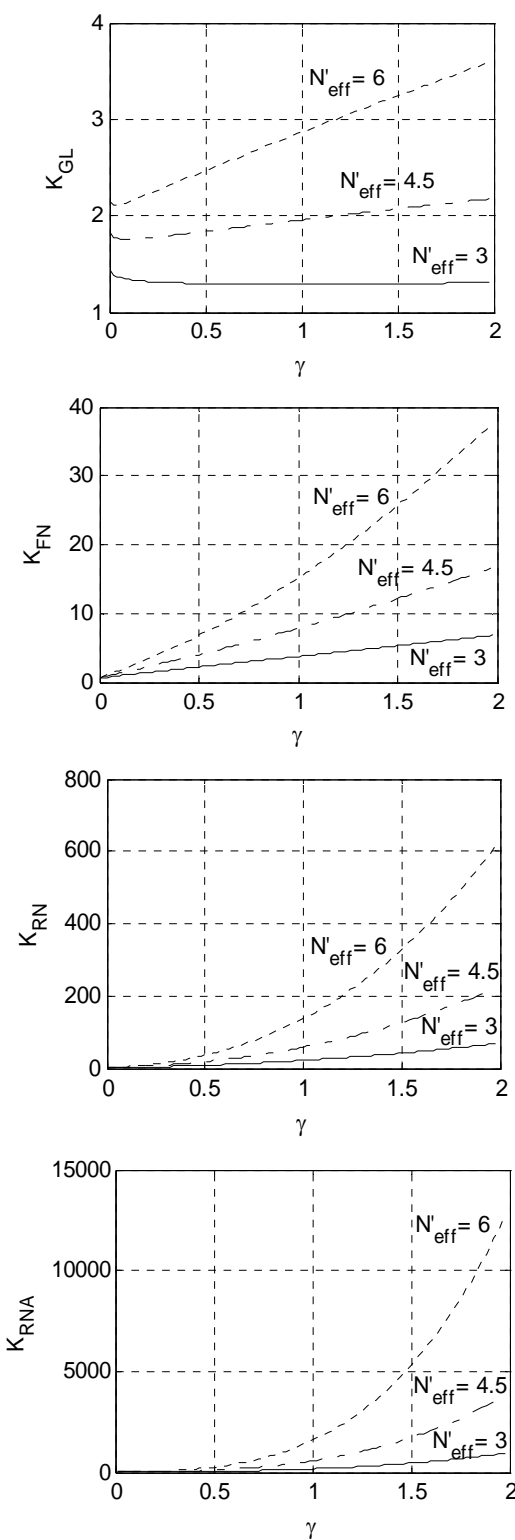
نتایج حل عددی در شکل ۱۳، رفتار ضرایب بی بعد پایا را بر حسب ضریب ناویری مؤثر  $N'_{eff}$  بهازای سه مقدار مختلف  $\gamma = 2, 8, 15$  نشان می‌دهد. همان‌طور که از این شکل ملاحظه می‌شود، مقدار  $\gamma$  می‌تواند تأثیر زیادی بر مقدار ضرایب بی بعد پایا داشته باشد. با توجه به مقیاس شکل ۱۳ نمودار  $K_{RN}$  و  $K_{RNA}$  بهازای  $\gamma = 2$  بسیار نزدیک (تقریباً منطبق بر) محور افقی است و با این مقیاس قابل تفکیک نمی‌باشد. نتایج حل عددی بهازای  $\gamma \leq 0.25$  مشابه نتایج برای حالت قطب‌های حقیقی (شکل ۴ و ۵) خواهد شد که این به نوعی صحه‌گذاری بخش مهمی از استخراج روابط و حل عددی تلقی می‌شود. شکل‌های ۱۴ و ۱۵، رفتار ضرایب بی بعد پایا را بر حسب  $\gamma$  بهازای سه مقدار مختلف  $N'_{eff} = 3, 4, 5, 6$  نشان می‌دهد که به علت وضوح بهتر برای دو بازه  $0 < \gamma \leq 2$  و  $2 \leq \gamma \leq 15$  ترسیم شده است (تعریف نوع خطوط در شکل ۱۵ مشابه شکل ۱۴ است). به طور نمونه و برای مقدارهای مفروض، رفتار ضریب بی بعد نویز تابش بر حسب  $\gamma$  تقریباً خطی است؛ اما رفتار سبتاً خطی برای ضریب بی بعد نویز مستقل از فاصله نسبت به  $\gamma$  تنها به ازای ضریب ناویری مؤثر ۳ تا ۴ مشاهده می‌شود. همچنین مشاهده می‌شود که ضریب بی بعد نویز وابسته به فاصله، رفتاری غیرخطی دارد.

نکته مهم این است که استفاده از بی بعدسازی معادلات الحاقی و استخراج ضریب  $\gamma$  سبب شده است که به جای تحلیل فاصله خطای ازای پارامترهای متعدد، این تحلیل نسبت به حداقل پارامترهای ممکن کاهش یابد. همچنین ترسیم ضرایب بی بعد پایا نسبت به پارامتر  $\gamma$  به نوعی آنالیز حساسیت فاصله خطای نسبت به تغییرات  $\gamma$  تلقی می‌شود.

همان‌طور که قبل اشاره شد، می‌توان ضرایب بی بعد پایا را بر حسب  $N'_{eff}$  و  $\gamma$  با روابطی تقریب زد که برای تحلیل فاصله خطای، محاسبه ثابت زمانی بهینه و همچنین طراحی هدایت با ضرایب متغیر، مفید خواهد بود.



شکل ۱۵ - ضرایب بی بعد پایا بر حسب  $\gamma$   
(در محدوده  $2 \leq \gamma \leq 15$ )



شکل ۱۴ - ضرایب بی بعد پایا بر حسب  $\gamma$   
(در محدوده  $0 < \gamma < 2$ )

$$n_{RN} = \begin{cases} 1.32 + 0.08(N' - 3) & 0.25 < \gamma < 1.2 \\ 1.7 + 0.12(N' - 3) & 1.2 \leq \gamma \leq 5 \end{cases} \quad (80)$$

$$n_{RNA} = \begin{cases} 1.7 + 0.07(N' - 3) & 0.25 < \gamma < 1.2 \\ 2.45 + 0.13(N' - 3) & 1.2 \leq \gamma \leq 5 \end{cases} \quad (81)$$

لازم به ذکر است که تحلیل حاضر برای مسئله خطی شده است و تحلیل مسئله در حالت غیرخطی و سه بعدی دشوار خواهد بود. تحلیل های موجود در منابع در حالت سه بعدی با استفاده از شبیه سازی پرواز ارائه می شود. به طور نمونه در مرجع [۱۷] جبران سازی سه بعدی خطی رادوم انجام شده است و نتایج با شبیه سازی پرواز به دست آمده است.

### پیوست الف: سیستم مرتبه اول

نتایج حل عددی با استفاده از روش الحقی بی بعد برای سیستم هدایت و کنترل مرتبه اول در شکل ۱۶ ملاحظه می شود. در این حالت، ضرایب بی بعد پایا تنها تابعی از ضریب ناویری مؤثر است. در اینجا تقریب خطی ضرایب پایا در بازه  $3 \leq N'_{eff} \leq 6$  به صورت زیر نوشته می شود:

$$K_{FN}(N'_{eff}) = 0.532 + 0.025(N'_{eff} - 3) \quad (82)$$

$$K_{GL}(N'_{eff}) = 1.44 + 0.238(N'_{eff} - 3) \quad (83)$$

$$K_{RN}(N'_{eff}) = 1.06 + 0.043(N'_{eff} - 3) \quad (84)$$

$$K_{RNA}(N'_{eff}) = 4.66 + 0.062(N'_{eff} - 3) \quad (85)$$

امتیاز روابط خطی این است که محاسبات و استخراج روابط تحلیلی آتی (برای طراحی ضریب ناویری متغیر) را ساده می کند. روابط ریشه میانگین محدود فاصله خطی پایا از مرجع [۱۶] به صورت زیر نوشته می شود.

$$\sigma_{GL} = \frac{K_{GL}(N'_{eff})}{1+R} \sqrt{\Phi_{GL} / T_{eff}} \quad (86)$$

در اینجا برای افزایش دقیق (نسبت به تقریب خطی) روابط تقریبی ضرایب بی بعد پایا در بازه  $3 \leq N' \leq 6$  و  $0.25 \leq \gamma \leq 5$  به صورت

$$K_j = K_j(\gamma = 0.25) + b_j(N'_{eff})(\gamma - 0.25)^{n_j(N'_{eff})} \quad (89)$$

استخراج شده است که در آن  $j = GL, FN, RA, RNA$  است.  $K_j(\gamma = 0.25)$  مقدار ضریب بی بعد پایا به ازای  $\alpha = 0.5$  و  $\gamma = 0.25$  است:

$$K_{GL} \Big|_{\gamma=1/4} = 1.31 + 0.317(N'_{eff} - 3) \quad (70)$$

$$K_{FN} \Big|_{\gamma=1/4} = 1.45 + 0.5(N'_{eff} - 3)^{1.26} \quad (71)$$

$$K_{RN} \Big|_{\gamma=1/4} = 3.96 + 2(N'_{eff} - 3)^{1.28} \quad (72)$$

$$K_{RNA} \Big|_{\gamma=1/4} = 17.4 + 10.5(N'_{eff} - 3)^{1.31} \quad (73)$$

اما ضرایب  $b$  و  $n$  به صورت زیر به دست می آید:

$$b_{GL} = -0.02 + 0.14(N'_{eff} - 3)^{1.57} \quad (74)$$

$$b_{FN} = 3 + 2.7(N'_{eff} - 3)^{1.36} \quad (75)$$

$$b_{RN} = 27 + 33(N'_{eff} - 3)^{1.5} \quad (76)$$

$$b_{RNA} = 271 + 420(N'_{eff} - 3)^{1.65} \quad (77)$$

$$n_{GL} = 1 - 0.02(N'_{eff} - 3) \quad (78)$$

$$n_{FN} = \begin{cases} 0.95 + 0.04(N' - 3) & 0.25 < \gamma < 1.2 \\ 1.05 + 0.12(N' - 3) & 1.2 \leq \gamma \leq 5 \end{cases} \quad (79)$$

قطب‌های حقیقی مجزا در سیستم مرتبه ۲ بررسی شده است. سپس به بازخورد شتاب و اثر آن پرداخته شده و در نهایت، اثر رادوم به دو اثر مذکور افروده شده است و نمودارهای بی بعد و روابط تقریبی فاصله خطابه دست آمده است.

اگرچه حداقل مرتبه سیستم هدایت و کنترل برای مدل‌سازی نسبتاً مناسب مسئله در حضور نویز، سیستم مرتبه ۲ است، اما روابط و نمودارهای حاصل می‌تواند با شبیه‌سازی شش درجه آزادی پرواز به همراه مدل‌سازی جستجوگر و سنسورها، کالیبره شود. علاوه بر تحلیل فاصله خطاب ناشی از هر یک از نویزهای جستجوگر، با استفاده از روابط حاصل می‌توان ثابت زمانی معادلی را که ریشه میانگین مجدول فاصله خطابی اصابت موشک را کمینه می‌کند، استخراج نمود. مزیت دیگر، استفاده از نتایج این تحقیق برای طراحی هدایت تناسبی با ضرایب ناویری و ثابت زمانی‌های متغیر است تا بتواند ملزمومات طراحی را در محدوده وسیع‌تری از شرایط پروازی ارضاء نماید.

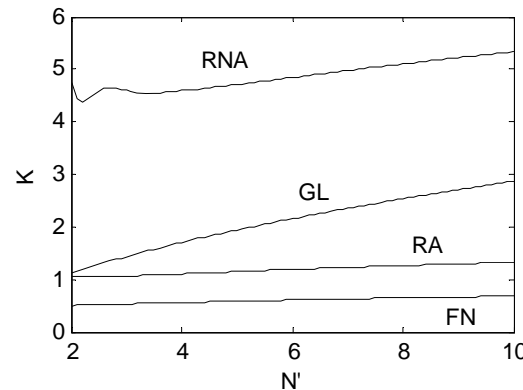
### منابع و مراجع

- [1] Lin, C.-F., *Modern Navigation, Guidance, and Control Processing*, Prentice-Hall, Englewood Cliffs, NJ, 1991.
- [2] Fleeman, E.L., *Tactical Missile Design*, AIAA Education Series, 2001.
- [3] Shneydor, N.A., *Missile Guidance and Pursuit: Kinematics, Dynamics, and Control*, Horwood Series in Engineering Science, 1998.
- [4] Neslin, F.W., and Zarchan, P., "A New Look at Classical versus Modern Homing Missile Guidance," *Journal of Guidance and Control*, Vol. 4, No. 6, 1981, pp. 78-85.
- [5] Spencer, A., and Moore W., "Design Trade-offs for Homing Missiles," *AIAA SDIO Annual Interceptor Technology Conference*, AIAA-92-2755, USA, 1992.
- [6] Miwa, S., "Radome Effect on the Miss Distance of a Radar Homing Missile," *Electronics and Communications in Japan*, Part 1, Vol. 81, No. 7, 1998.
- [7] Ohlmeyer, E.J., "Root-Mean-Square Miss Distance of Proportional Navigation Missile Against Sinusoidal Target," *Journal of Guidance, Control, and Dynamics*, Vol. 19, No. 3, 1996, pp. 563-568.
- [8] Hablani, H.B., and Pearson, D.W., "Miss Distance Error Analysis of Exoatmospheric Interceptors," *Journal of Guidance, Control, and Dynamics*, Vol. 27, No. 2, 2004, pp. 283-289.
- [9] Alpert, J., "Miss Distance Analysis for Command Guided Missiles," *Journal of Guidance, Control, and Dynamics*, Vol. 11, No. 6, 1988, pp. 481-487.

$$\sigma_{FN} = \frac{K_{FN}(N'_{eff})v_c}{1+R}\sqrt{T_{eff}\Phi_{FN}} \quad (87)$$

$$\sigma_{RN} = \frac{K_{RN}(N'_{eff})v_c^2}{(1+R)R_A}\sqrt{T_{eff}^3\Phi_{RN}} \quad (88)$$

$$\sigma_{RNA} = \frac{K_{RNA}(N'_{eff})v_c^3}{(1+R)R_A^2}\sqrt{T_{eff}^5\Phi_{RNA}} \quad (89)$$



شکل ۱۶ - ضرایب بی بعد پایا ناشی از نویز جستجوگر بر حسب ضریب ناویری (مؤثر) برای سیستم مرتبه اول

که برای محاسبه ضرایب  $K(N'_{eff})$  می‌توان از روابط خطی (۸۲-۸۵) استفاده کرد. البته روابط تقریبی (۸۲-۸۵) در مرجع [۱۶] نیامده است.

### نتیجه‌گیری

در این تحقیق، روابط تقریبی فاصله خطابی استراتژی بهبودیافته ناویری تناسبی با بازخورد شتاب جانی (ونرخ آن) برای سیستم هدایت و کنترل مرتبه دوم در حضور اثر رادوم و نویز جستجوگر با استفاده از حل عددی معادلات بی بعد شده روش الحقیقی استخراج شده است. تحلیل مذکور با فرض مسئله خطی شده، ثابت بودن شبیه خطابی رادوم و سرعت نزدیک شدن موشک به هدف انجام شده است. برای استخراج روابط مذکور، مسئله به سه بخش تقسیم شده است تا اثرات هر عامل شامل سیستم مرتبه دوم با قطب‌های حقیقی غیریکسان، بازخورد شتاب جانی و اثر رادوم در فاصله خطابی ناشی از نویز جستجوگر، به‌طور مجزا و توأمان تحلیل شود. ابتدا تنها اثر

[15] Neslin, F.W., and Zarchan, P., "Radome Induced Miss Distance in Aerodynamically Controlled Homing Missiles," *AIAA Guidance and Control Conference*, AIAA-84-1845, USA, 1984.

[۱۶] جلالی نائینی س.ح، "تحلیل فاصله خطای استراتژی ناوبری تناسبی با بازخورد شتاب و سرعت زاویه بدنی با استفاده از روش الحاقی" مجله کنترل، جلد ۷، شماره ۱، بهار ۱۳۹۲، صفحات ۴۳-۵۷.

[۱۷] نیکو سخن لامع، م. و محمدخانی، م.ع، "جبران سازی سه بعدی خطای ریدوم در صفحه دید با استفاده از نرخ بدنی" نهمین کنفرانس انجمن هوافضای ایران، تهران، ۱۳۸۸

[10] Neslin, F.W., and Zarchan, P., "Missile Guidance Design Tradeoffs for High Altitude Air Defense," *Journal of Guidance, Control, and Dynamics*, Vol. 6, No. 3, 1983, pp. 207-212.

[11] Neslin, F.W., "Missile Guidance for Low-Altitude Air Defense," *Journal of Guidance and Control*, Vol. 2, No. 4, 1979, pp. 283-289.

[12] Yanushevsky, R., *Modern Missile Guidance*, CRC Press, 2008.

[13] Zarchan, P., *Tactical and Strategic Missile Guidance*, Sixth ed., Progress in Astronautics and Aeronautics, Vol. 239, AIAA, 2012.

[14] Neslin, F.W., and Zarchan, P., "Miss Distance Dynamics in Homing Missiles," *AIAA Guidance and Control Conference Proceedings*, Aug. 1984, pp. 84-98.

